

Федеральное агентство по образованию РФ  
Ивановский государственный энергетический университет  
Кафедра теоретической и прикладной механики

**Дипломный проект**

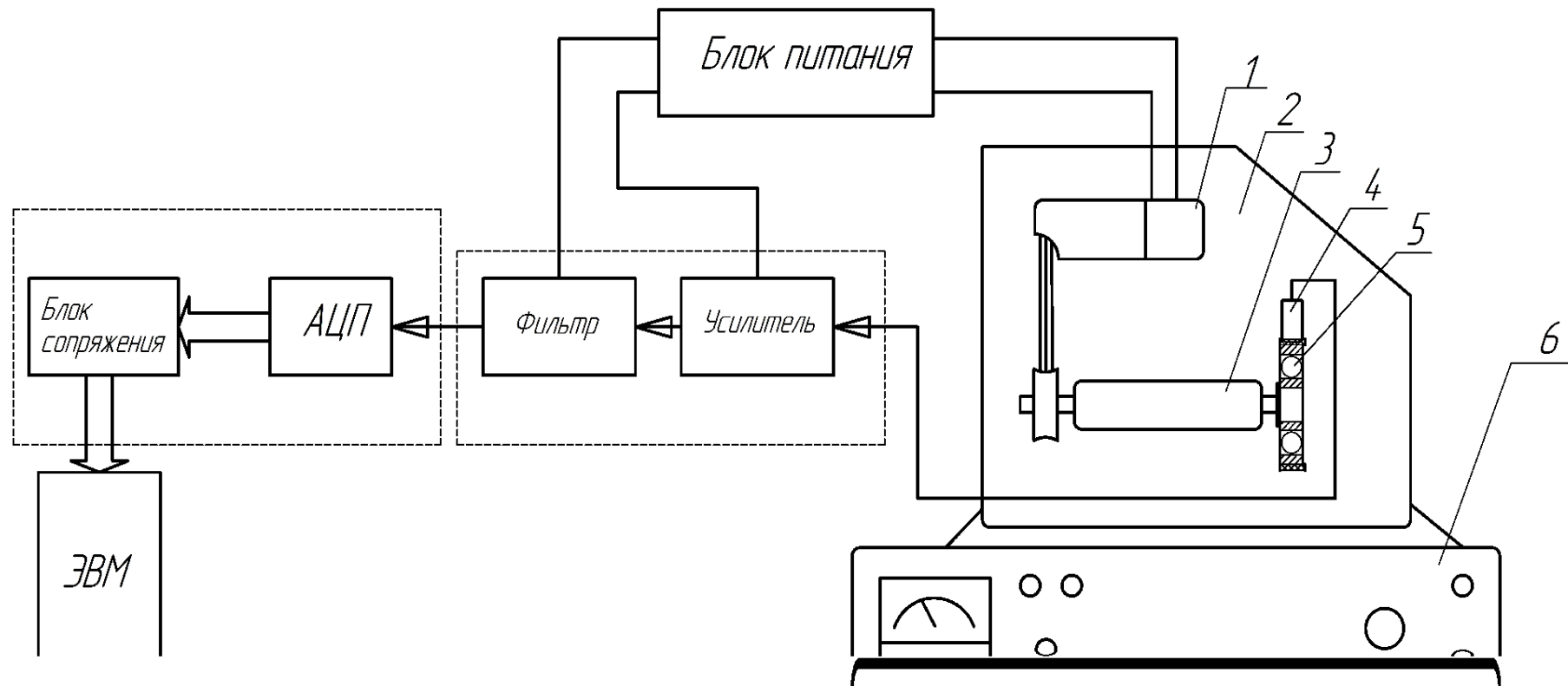
**«Диагностика подшипников качения по результатам анализа  
высокочастотной вибрации».**

Проектировал: Новожилов В. А.  
Научный руководитель: Огурцов Ф. Б.

Иваново 2009

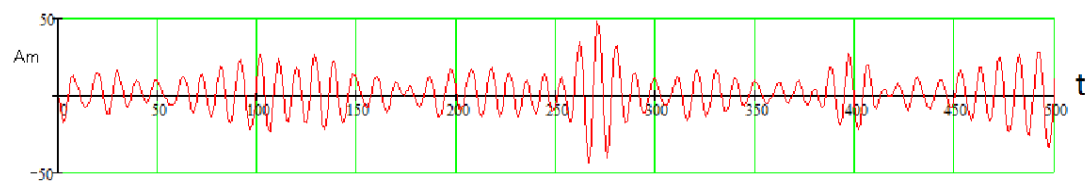
# Функциональная схема стенда

- 1. Электродвигатель
- 2. Подвижное основание
- 3. Подшипниковый узел
- 4. Высокочастотный датчик вибрации
- 5. Испытуемый подшипник
- 6. Основание и блок управления

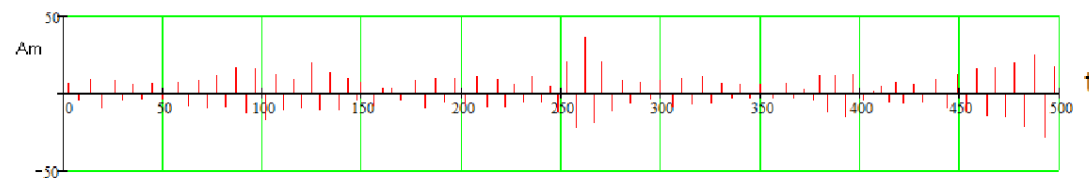


# Алгоритм выделения ударных импульсов

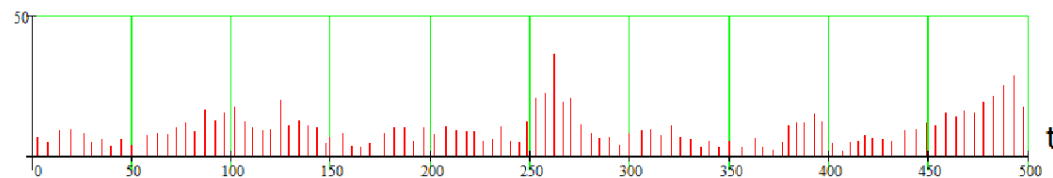
График реального процесса



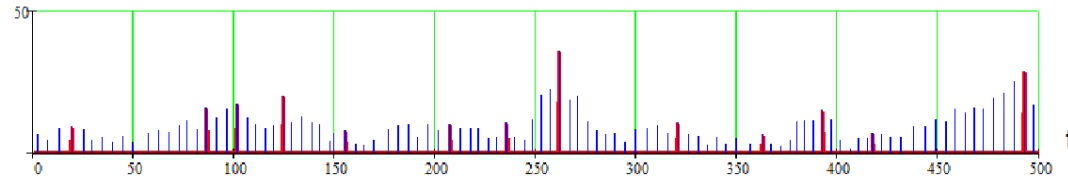
Массив средних значений



Выпрямленный массив средних значений



Массив локальных максимумов



Условие выделения локальных максимумов

```
px := | for r ∈ 1..n  
      | Pr ← ppr if ppr > ppr-1 ∧ ppr > ppr+2 ∧  
      | ppr > ppr-2 ∧ ppr > ppr+1  
      | 0 otherwise  
P
```

# Алгоритм математической обработки результатов

Базовая модель плотности распределения вероятности

$$P(t) := a \cdot t^b \cdot e^{c \cdot t^d}$$

Критерий определения параметров модели

$$\sum_{i=1}^n \left( \text{Hist}_i - P(t_i, a, b, c, d) \right)^2 = \min$$

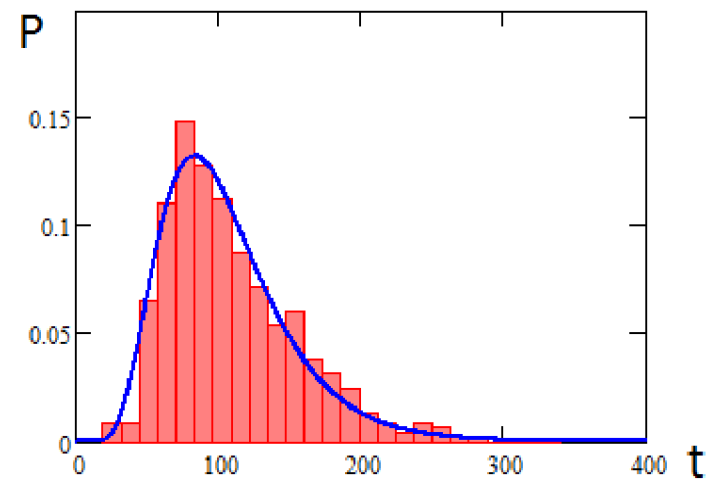
$$\sum_{i=1}^n \left[ \left( \text{Hist}_i - P(t_i, a, b, c, d) \right)^2 \cdot \left( t_i^b \cdot e^{c \cdot t_i^d} \right) \right] = 0$$

$$\sum_{i=1}^n \left[ \left( \text{Hist}_i - P(t_i, a, b, c, d) \right)^2 \cdot \left( a \cdot t_i^b \cdot \ln(t_i) \cdot e^{c \cdot t_i^d} \right) \right] = 0$$

$$\sum_{i=1}^n \left[ \left( \text{Hist}_i - P(t_i, a, b, c, d) \right)^2 \cdot \left( a \cdot t_i^b \cdot t_i^d \cdot e^{c \cdot t_i^d} \right) \right] = 0$$

$$\sum_{i=1}^n \left[ \left( \text{Hist}_i - P(t_i, a, b, c, d) \right)^2 \cdot \left( a \cdot t_i^b \cdot c \cdot t_i^d \cdot \ln(t_i) \cdot e^{c \cdot t_i^d} \right) \right] = 0$$

Пример гистограммы и соответствующего ей графика плотности распределения вероятности



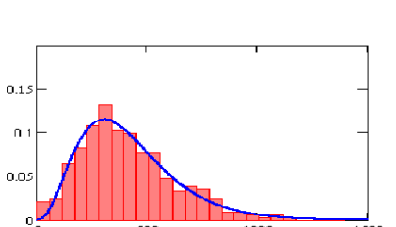
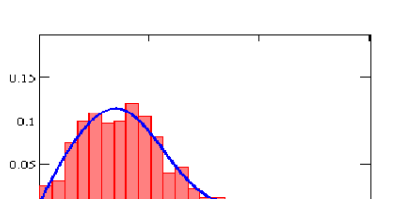
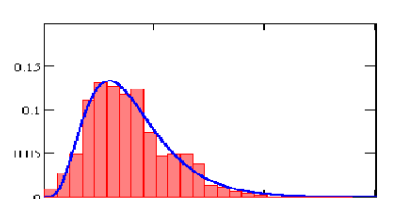
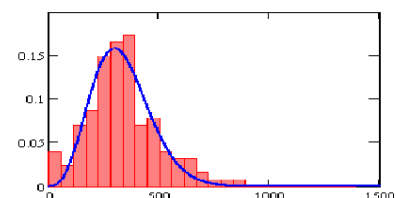
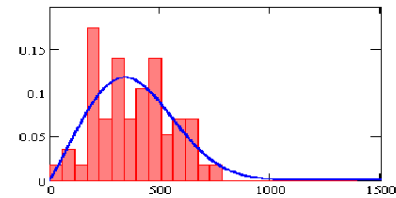
Значения параметров модели

$$\begin{pmatrix} a \\ b \\ c \\ d \end{pmatrix} = \begin{pmatrix} 1.004 \times 10^{-9} \\ 21.39 \\ -22.123 \\ 0.279 \end{pmatrix}$$

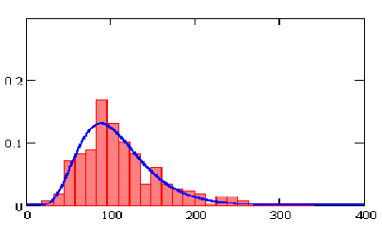
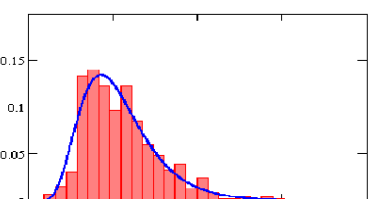
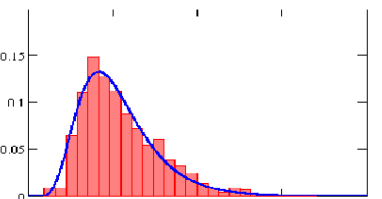
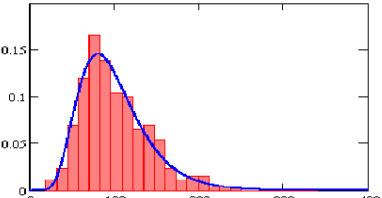
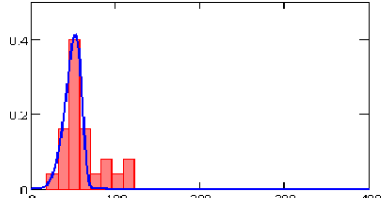
# Плотность распределения вероятности времени появления ударных импульсов

Уровни ударных импульсов 0 – 0,5MAX

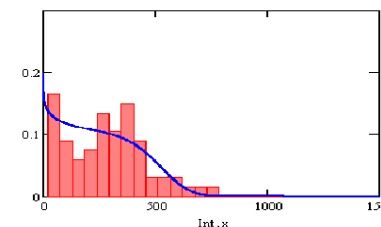
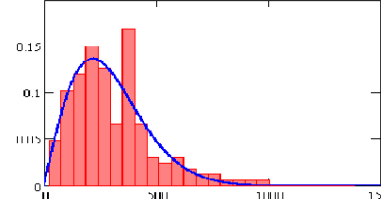
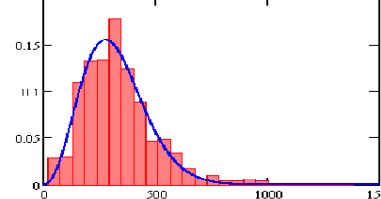
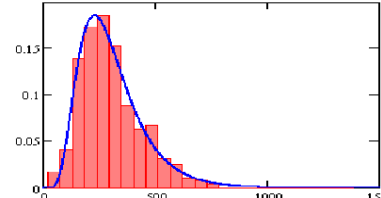
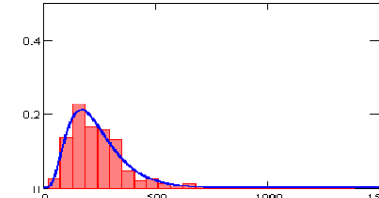
Бездефектный подшипник



Подшипник с дефектом  
на наружном кольце



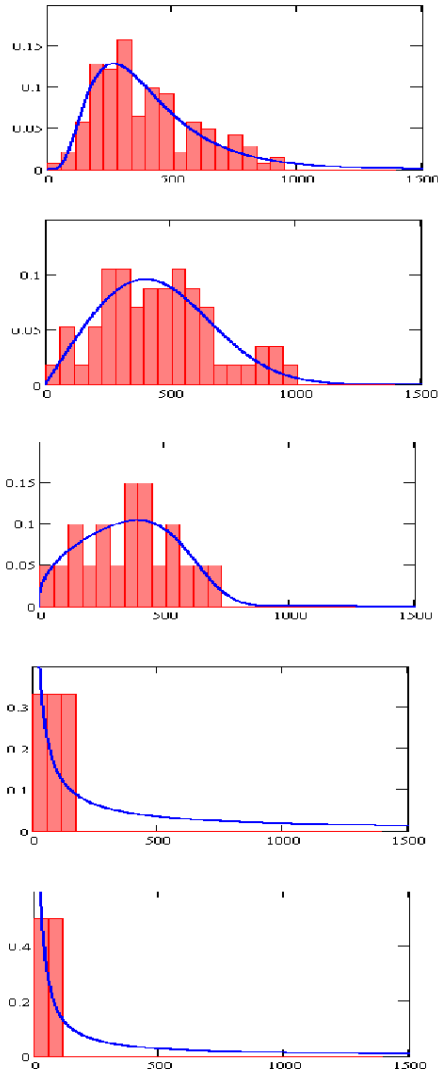
Подшипник с дефектом  
на внутреннем кольце



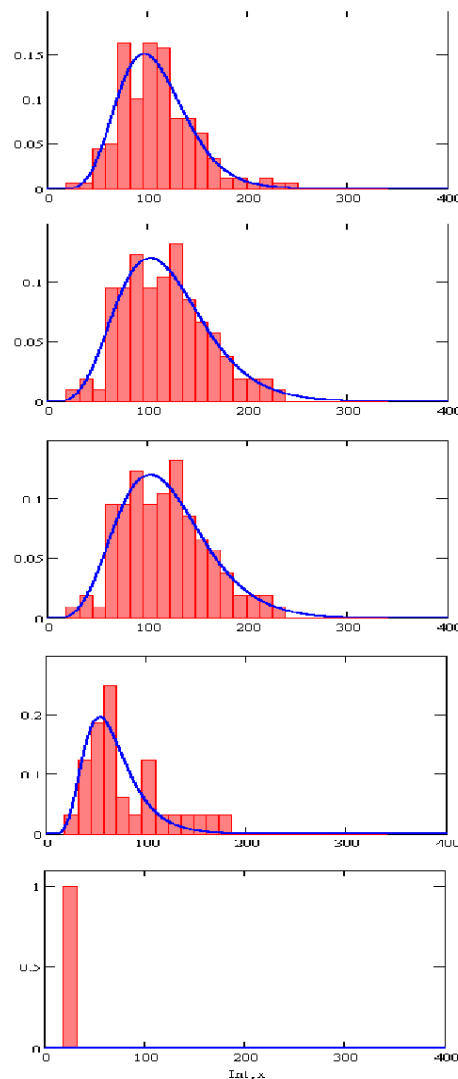
# Плотность распределения вероятности времени появления ударных импульсов

Уровни ударных импульсов 0,6MAX – MAX

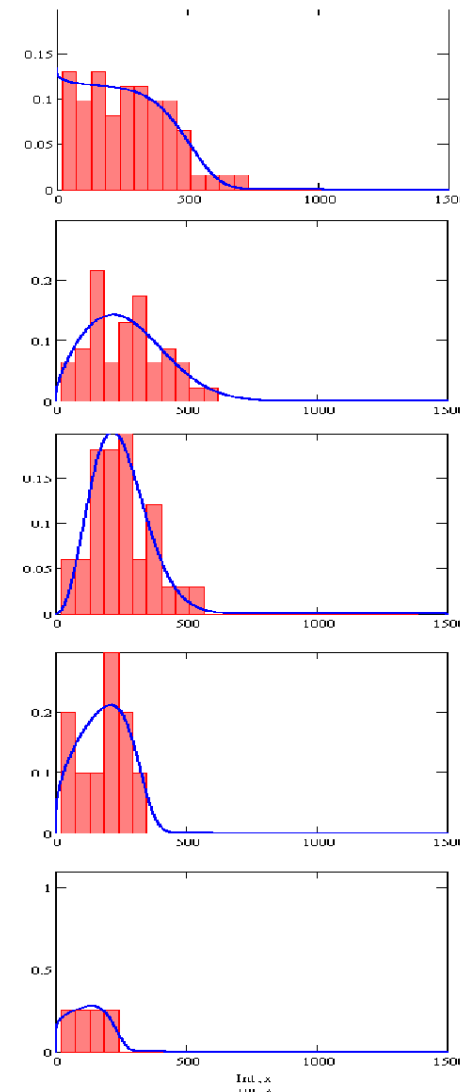
Бездефектный подшипник



Подшипник с дефектом  
на наружном кольце



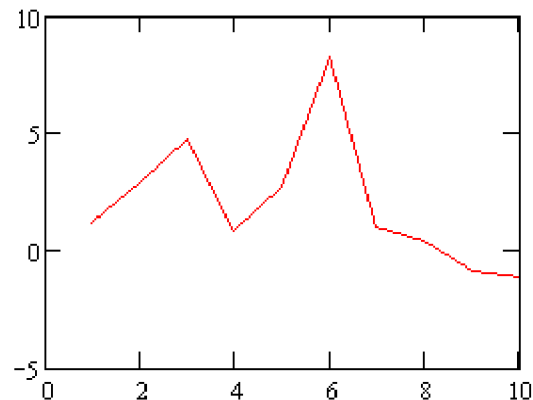
Подшипник с дефектом  
на внутреннем кольце



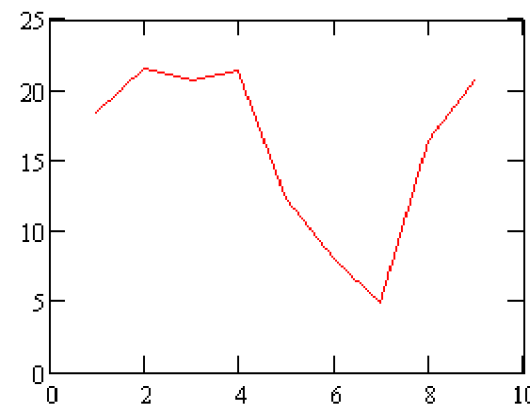
# Результаты регрессионного анализа

Зависимости коэффициента  $b$  от амплитуды

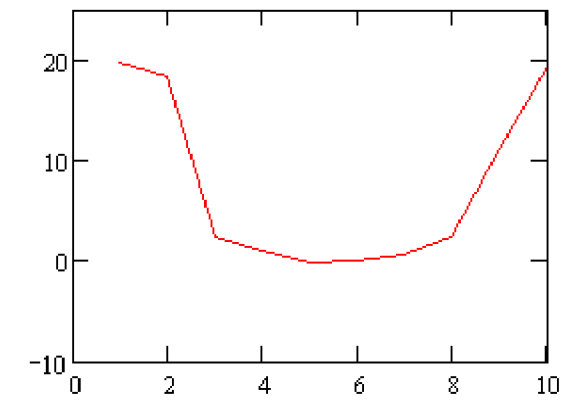
Бездефектный подшипник



Подшипник с дефектом на наружном кольце

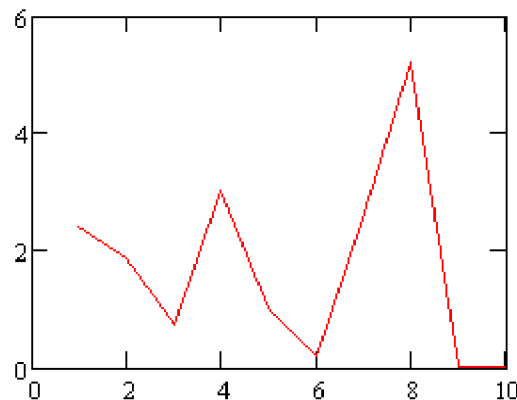


Подшипник с дефектом на внутреннем кольце

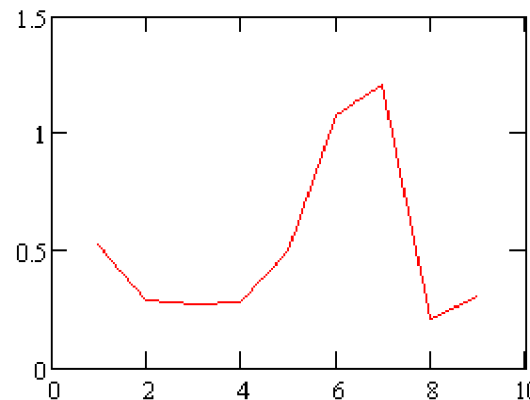


Зависимости коэффициента  $d$  от амплитуды

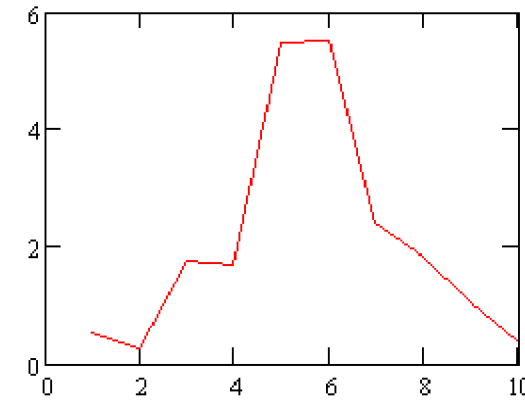
Бездефектный подшипник



Подшипник с дефектом на наружном кольце



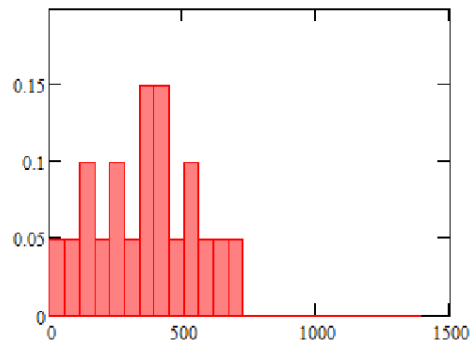
Подшипник с дефектом на внутреннем кольце



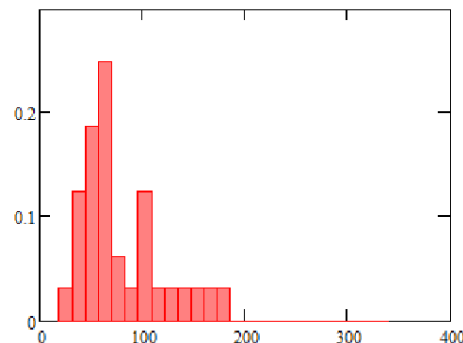
# Разработка критерия диагностики

Гистограммы плотности распределения вероятности времени появления ударных импульсов по уровню 0,8÷0,9 от максимума

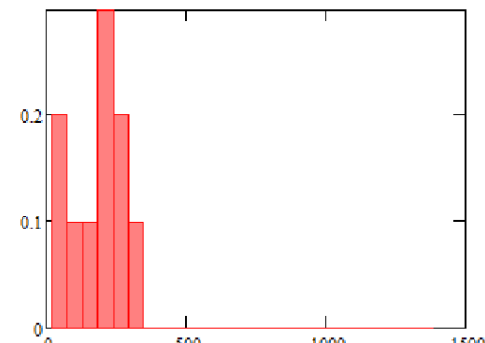
Бездефектный подшипник



Подшипник с дефектом на наружном кольце



Подшипник с дефектом на внутреннем кольце



Критерий согласия Пирсона

Значения  $\chi^2$  – критерия

Бездефектный подшипник

$$\chi^2 = \begin{pmatrix} 111 \\ 422 \\ 522 \\ 319 \\ 123 \\ 39 \\ 7 \\ 0 \end{pmatrix}$$

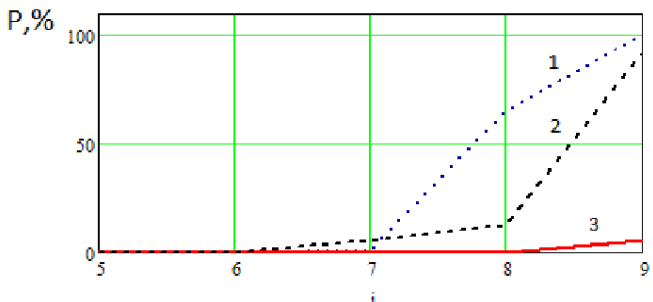
Подшипник с дефектом на наружном кольце

$$\chi^2 = \begin{pmatrix} 241 \\ 423 \\ 433 \\ 245 \\ 159 \\ 88 \\ 56 \\ 19 \end{pmatrix}$$

Подшипник с дефектом на внутреннем кольце

$$\chi^2 = \begin{pmatrix} 737 \\ 521 \\ 148 \\ 53 \\ 48 \\ 35 \\ 23 \\ 4 \end{pmatrix}$$

Графики вероятности непротиворечия



1 – бездефектный подшипник  
2 – дефект на наружном кольце  
3 – дефект на внутреннем кольце